

بررسی عددی آسیب ایجاد شده در اثر برخورد مایل گلوله ضدزره کالیبر متوسط

پویا پیرعلی^{۱*}، مهرداد قدموی^۲، رضا بابایی^۲

۱- استادیار، مهندسی مکانیک، دانشگاه صنعتی مالک اشتر، تهران
۲- کارشناسی ارشد، مهندسی مکانیک، دانشگاه صنعتی مالک اشتر، تهران
* تهران، صندوق پستی ۱۵۸۷۵-۱۷۷۴ ppirali@mut.ac.ir

چکیده

پرتایه‌های کالیبر متوسط ضدزره، که معمولاً علیه اهداف هوایی یا زرهی مورد استفاده قرار می‌گیرند، انرژی جنبشی زیادی دارند و در عمل امکان جلوگیری از نفوذ این پرتایه‌ها در اهداف مختلف به طور مستقیم وجود ندارد؛ بنابراین لازم است تا با مطالعه اهداف، راهی برای مقابله با این نوع پرتایه‌ها ارائه شود. در این مطالعه به شبیه‌سازی عددی پدیده نفوذ مایل پرتایه کالیبر متوسط ضدزره در اهداف مسطح گلیر 3/1 و گلیر 5/2 با استفاده از نرم‌افزار المان محدود آباکوس و حلگر دینامیک صریح، پرداخته شده و آسیب‌دیدگی ایجاد شده مورد بررسی قرار گرفته است. سرعت‌های برخورد مورد مطالعه 625 و 1250 متر بر ثانیه و زوایای برخورد صفر، 30، 45 و 60 درجه بوده است. به منظور صحت‌سنجی روش حل از یک رابطه تجربی که مقدار انرژی نفوذ را برای ورق‌های نازک گلیر تعیین می‌کند، استفاده شده است. نتایج حاکی از پدیده‌های خاص مثل پتالینگ نامتقارن و ایجاد ریزترک‌ها در برخورد‌های مایل بوده و همچنین نشان‌دهنده این است که سرعت برخورد و زوایه برخورد بیشتر منجر به افزایش آسیب می‌شود. علاوه، لایه‌ای شدگی هدف نیز مورد بررسی قرار گرفته است.

اطلاعات مقاله

مقاله پژوهشی کامل
دریافت: 22 آذر 1395
پذیرش: 24 بهمن 1395
ارائه در سایت: 14 فروردین 1396
کلید واژگان:
نفوذ مایل
گلیر (Glare)
پرتایه کالیبر متوسط
گلوله ضدزره (AP)

Numerical investigation of the damaged area of GLARE® under oblique impact of the AP projectile with medium caliber

Pooya Pirali*, Mehrdad Ghadami, Reza Babaei

Mechanical Engineering Research Center, Malek Ashtar University of Technology, Tehran, Iran.

* P.O.B. 15875-1774, Tehran, Iran, ppirali@mut.ac.ir

ARTICLE INFORMATION

Original Research Paper
Received 12 December 2016
Accepted 12 February 2017
Available Online 03 April 2017

Keywords:
Oblique Penetration
GLARE
Medium Caliber
AP Projectile

ABSTRACT

The medium caliber armor piercing projectiles, commonly being used against armored and aerial targets, have high kinetic energy and in practice, it is impossible to prevent these projectiles from penetration through different types of targets. So it is essential to demonstrate a solution to repel these projectiles by study on behavior of the targets. In this study, numerical simulation of oblique penetration of medium caliber armor piercing projectile through the flat targets of GLARE3 2/1 and GLARE5 2/1 has been investigated by ABAQUS finite element software, and using explicit-dynamic solver. 625m/s and 1250m/s strike velocities and 0, 30, 45, and 60 degree strike angles have been studied. Damaged area have been investigated. To verify the solving method, an experimental equation, which has determined the penetration energy of a thin GLARE target, has been used. Results have shown that some special phenomena (e.g. asymmetric petalling, and small-cracks formation) appear when penetration occurs obliquely. This is also has been shown that the lower strike velocity, and the higher strike angle will result in the higher target damage. Furthermore, delamination of target has been investigated.

شیشه و نحوه چینش زیرلایه‌های الیاف شیشه، اساس نام‌گذاری گلیرها می‌باشد. نام‌گذاری گلیرها از دو بخش تشکیل می‌گردد؛ بخش اول که شامل نام گلیر و یک عدد است، نشان‌دهنده استانداردی می‌باشد که جنس لایه آلومینیوم و جنس الیاف شیشه و نحوه چینش زیرلایه‌های الیاف شیشه را نشان می‌دهد. بخش دوم نشان‌دهنده تعداد لایه‌های آلومینیوم و لایه‌های الیاف شیشه است که همواره تعداد لایه‌های آلومینیوم، یک واحد از تعداد لایه‌های الیاف شیشه بیشتر است. به طور مثال بخش اول گلیر 3/1 یعنی گلیر 3 بیانگر خانواده‌ای از گلیرها می‌باشد که جنس آلومینیوم آنها، آلومینیوم

گلیر^۱ به دسته خاصی از ورق‌های الیاف-فلز^۲ اطلاق می‌شود که صفحه فلزی آن از جنس آلومینیوم و الیاف آن از جنس شیشه بهمراه رزین اپوکسی می‌باشد. نحوه چینش لایه‌های گلیر به شکلی است که باستی همواره یک لایه الیاف بین دو لایه آلومینیوم قرار گرفته و در مجموع بالاترین و پایین‌ترین لایه بین از جنس آلومینیوم باشد. لازم به ذکر است که لایه الیاف مذکور، از چند زیر لایه الیاف شیشه تشکیل شده است که جنس آلومینیوم و الیاف

¹ GLARE

² Fiber-Metal Laminate - FML

برای ارجاع به این مقاله از عبارت ذیل استفاده نمایید:

P. Pirali, M. Ghadami, R. Babaei, Numerical investigation of the damaged area of GLARE® under oblique impact of the AP projectile with medium caliber, *Modares Mechanical Engineering*, Vol. 17, No. 3, pp. 367-375, 2017 (in Persian)

2000 متری از محل پرتاب، حدود 51000 ژول خواهد بود که مقدار بسیار بزرگی است. بنابراین هیچ هدفی به طور مستقیم نمی‌تواند در برابر نفوذ آنها مقاومت کند و برای همین باید با مطالعه این پدیده، راه حل‌هایی برای کاهش آسیب‌ها، خصوصاً آسیب‌های خطرناک منجر به فروپاشی ارائه گردد. این مطالعه می‌تواند از دیدگاه مکانیک شکست، به بررسی ابعاد آسیب‌های مختلف مطالعه، با استفاده از شبیه‌سازی عددی به بررسی آسیب‌دیدگی‌های ورق گلیر ناشی از برخورد مایل پرتابه کالیبر متوسط ضدزره پرداخته شده است.

2- تئوری‌های مسئله

برای شبیه‌سازی رفتار مواد مختلف مورد استفاده در ساخت هدف گلیر و همچنین پرتابه، نیاز به مدل‌های مادی ایزوتروپیک (شبیه‌سازی آلومینیوم، تنگستن و پلی‌اتیلن)، کامپوزیت تک جهته سه بعدی (شبیه‌سازی الیاف شیشه) و ماده چسبنده (شبیه‌سازی اپوکسی) می‌باشد.

2-1- مدل مادی ایزوتروپیک

به ماده‌ای اطلاق می‌شود که در همه جهات دارای خواص مکانیکی یکسانی بوده و برای تعریف رفتار این نوع مواد در ناحیه الاستیک، تنها به یک مدول الاستیسیته و یک ضریب پواسون در کنار رابطه هوک نیاز است. همچنین در صورت نرم بودن این مواد، برای تعریف ناحیه الاستیک و پلاستیک، تنها نیاز به مشخص بودن دو استحکام تسلیم و نهایی می‌باشد و زمانیکه تنش در ماده از تنش نهایی بیشتر شود، ماده دچار شکست می‌گردد [11].

2-2- مدل مادی ورق کامپوزیت تک جهته سه بعدی

این مواد تنها رفتار الاستیک دارند و خواص مکانیکی آنها در جهت‌های مختلف، متفاوت است؛ بنابراین برای تعریف رفتار الاستیک این مواد، به سه مدول الاستیسیته، سه ضریب پواسون و سه مدول برشی در کنار روابط هوک نیاز است. هفت مود شکست برای الیاف در این ماده تعریف می‌گردد که به صورت رابطه (1) می‌باشد [11].

$$\begin{aligned} \sigma_1 &\geq X_t \\ |\sigma_1| &\geq X_c \\ \sigma_2 &\geq Y_t \quad \text{یا} \quad \sigma_3 \geq Y_t \\ |\sigma_2| &\geq Y_c \quad \text{یا} \quad |\sigma_3| \geq Y_c \\ |\tau| &\geq S \end{aligned} \quad (1)$$

طبق رابطه (1)، اگر تنش کششی در راستای طولی الیاف از استحکام کششی طولی، یا تنش فشاری طولی از استحکام فشاری طولی، یا تنش کششی عرضی از استحکام کششی عرضی، یا اندازه تنش فشاری عرضی از استحکام فشاری عرضی و یا اندازه تنش برشی از استحکام برشی بیشتر گردد، الیاف دچار شکست می‌شوند [11].

2-3- مدل مادی ماده چسبنده

به منظور مطالعه و شبیه‌سازی پدیده لایه‌لایه‌شدن⁴ در کامپوزیت‌ها، نیاز به تعریف خواص مکانیکی ماده چسبنده است. روابط مربوط به چسب‌ها دقیقاً از روابط مکانیک شکست نشأت می‌گیرند؛ چرا که ایجاد و گسترش لایه‌لایه‌شدن⁴ کامپوزیت را می‌توان مثل ایجاد و گسترش یک ترک در نظر گرفت. رفتار چسب قبل از آغاز جدایش به صورت الاستیک خطی است. در خصوص

2024-تی¹ و الیاف شیشه آنها از جنس اس-2-گلاس² است. لایه الیاف شیشه آن از دو زیرلایه و به صورت 0/90 تشكیل شده است و بخش دوم یعنی 2/1 نشان‌دهنده یک عضو خاص از خانواده گلیر³ است که فقط از دو لایه آلومینیوم و یک لایه الیاف شیشه⁴ (که شامل دو زیر لایه به صورت 0/90 است) تشکیل شده و در مجموع یک کامپوزیت 4 لایه را تشکیل داده است [1].

از بین خانواده‌های گلیر، دو خانواده گلیر 3 و گلیر 5، به دلیل خواص خوب از نظر ضربه و خستگی، بیشتر مورد استفاده قرار می‌گیرند و در این مطالعه نیز بررسی‌ها بر روی این دو نوع گلیر صورت گرفته است. جنس آلومینیوم و الیاف شیشه در گلیر 3 و گلیر 5 مشابه است. اما گلیر 5 شامل 4 زیرلایه الیاف شیشه به صورت 0/90/90/0 می‌باشد. ضخامت لایه‌های الیاف و آلومینیوم در هر دو گلیر نیز، به ترتیب 0.266 و 0.35 میلی‌متر در نظر گرفته شده است [2].

ورق‌های الیاف-فلز گلیر جایگزین بسیار مناسبی برای آلیاژهای خالص آلومینیوم در سازه‌های اساسی هواپیما هستند. رفتارهای آغازش و گسترش ترک خستگی و همچنین میزان تحمل آسیب این ورق‌ها از آلومینیوم خالص بهتر است. در طی دهه‌های گذشته، تقاضای افزایشده صنایع هواپی برای سازه‌های با عملکرد بالا و وزن کم، گرایش زیادی به سمت گسترش مدل‌های اصلاح شده برای ورق‌های الیاف-فلز ایجاد کرده و مطالعات فراوانی روی ورق‌های الیاف-فلز شامل بررسی خواص مکانیکی، هندسی و پاسخ آن به بارگذاری‌های مختلف (مثل انفجاری، ضربه کم‌سرعت، ضربه بسرعت، کشش) و اثرات این پارامترها بر یکدیگر صورت گرفته است [3]. در سال‌های اخیر، صبوری و همکارانش، نفوذ ضربه باستیک در اهداف گلیر را با شبیه‌سازی عددی و آزمایش تجربی و بررسی اثر ترتیب چینش آلومینیوم (با ضخامت‌های متفاوت)، مورد مطالعه قرار داده‌اند [4]. همچنین صدیقی و همکارانش، مروری بر مقاومت ضربه ورق‌های الیاف-فلز ارائه داده‌اند [5] و احمدی و همکارانش، خواص ضربه پرسرعت گلیر را از طریق بررسی اهداف با نسبت ضخامت‌های مختلف و مکانیزم آسیب مورد مطالعه قرار داده‌اند [6]. بعلاوه صدیقی و همکارانش پاسخ به ضربه کم‌سرعت گلیر نیز مطالعه کرده‌اند [7] و ضربه پرسرعت پرتابه استوانه‌ای به پنل ساندویچی توسط قلمی و همکارانش بررسی گردیده است [8]. مسعودی و همکارانش نیز تأثیر نانورس بر روی خواص بالستیکی کامپوزیت الیاف-فلز گلیر را با بررسی تجربی و عددي آن مطالعه نموده‌اند [9]. با توجه به بررسی تاریخچه مطالعه روی گلیر، مشاهده می‌شود که علی‌رغم مطالعات گستره انجام شده نفوذ مایل پرتابه- مختلف ورق‌های الیاف-فلز، هیچ‌گونه تحقیقی روی پدیده نفوذ مایل پرتابه-های کالیبر متوسط ضدزره در گلیر صورت نگرفته است؛ حال آنکه بزرگترین تهدید برای تعدادی از هواپیماهای مدرن که بخش اعظمی از بدنه آنها از جنس ورق‌های الیاف-فلز است (و استفاده از این کامپوزیت‌ها در اکثر هواپیماهای آینده قابل پیش‌بینی است)، برخورد این نوع پرتابه‌ها می‌باشد. پرتابه‌ای که در این مطالعه انتخاب گردیده است، پرتابه ام-791³ با کالیبر 25 میلی‌متر است. جنس هسته آن تنگستن و جنس روکش آن از پلی‌اتیلن بوده و سرعت آن در دهانه سلاح 1345 متر بر ثانیه می‌باشد. برد مؤثر آن 2000 متر بوده و سرعت آن در این برد، 1250 متر بر ثانیه می‌باشد [10]. با توجه به جرم حدود 65 گرمی این پرتابه، انرژی جنبشی آن در لحظه برخورد در فاصله

¹ Aluminum 2024-T3

² S2-Glass

³ M-791

⁴ Delamination

3- مدل سازی مسئله

3-1- مدل سازی هدف

مدل سازی المان محدود با استفاده از نرم افزار آباکوس² و به صورت اکسپلیسیست دینامیک³ صورت گرفته است. در این مدل سازی، تک لایه‌های هدف به طور جداگانه به صورت المان‌های سالید⁴ و سی‌دی‌آر⁵ و بعد ۲۰×۲۰ سانتی‌متر ایجاد گردیده‌اند. به کمک تعریف اینتراکشن⁶ چسب بین لایه‌ها، امکان مدل سازی پدیده لایه‌لایه‌شدنگی نیز فراهم آمده است. اهداف مورد مطالعه، گلیر³ و گلیر⁵ هستند و جنس لایه‌های مختلف هدف، آلومینیوم ۲۰۲۴-تی³ و الیاف اس-۲-گلاس می‌باشد. در مطالعات صورت گرفته، رفتار آلومینیوم ۲۰۲۴-تی³ به صورت یک ماده ایزوتروپیک در نظر گرفته شده است و خواص مکانیکی آن در جدول ۱ ارائه گردیده است [11].

الیاف اس-۲-گلاس نیز یک ورق کامپوزیت تک لایه و تک جهتی سه بعدی فرض شده است و خواص مکانیکی مرتبط با این کامپوزیت سه بعدی در جدول ۲ ارائه شده است [11].

رزین یا چسب مجموعه هدف نیز اپوکسی است که علاوه بر نگاهداشتن الیاف در کنار هم، باعث چسبیدن لایه الیاف به لایه آلومینیوم می‌شود و خواص آن نیز در جدول ۳ ارائه شده است [12].

3-2- مدل سازی پرتابه

پرتابه ام ۷۹۱ دارای هسته تنگستنی و روکش پلی اتیلن می‌باشد. تنگستن یک فلز ایزوتروپیک است و خواص مکانیکی آن در جدول ۴ ارائه شده است [10].

همچنین خواص مکانیکی پلی اتیلن که فقط رفتار الاستیک خطی دارد و در استحکام تسلیم دچار شکست می‌شود، در جدول ۵ ارائه گردیده است [10].

جدول ۱ خواص مکانیکی آلومینیوم ۲۰۲۴-تی³ [11]

مقدار	خواص مکانیکی
2780	(kg/m ³) چگالی
73.1	(GPa) مدول الاستیستیت
0.33	ضریب پواسون
18	درصد تغییر طول (%)
345	(MPa) استحکام تسلیم
483	(MPa) استحکام نهایی

جدول ۲ خواص مکانیکی الیاف اس-۲-گلاس [11]

مقدار	خواص مکانیکی	مقدار	خواص مکانیکی
0.34	E ₁ (GPa)	36	ضربی پواسون 23
0.25	E ₂ (GPa)	5	ضربی پواسون 13
465	X _t (MPa)	5	استحکام کششی طولی
5.6	Y _t (MPa)	2.7	استحکام کششی عرضی
5.6	Y _c (MPa)	2.7	استحکام فشاری عرضی
19.2	S(MPa)	1.92	استحکام برشی
1540	(kg/m ³) چگالی	0.25	ضربی پواسون 12

²Abaqus
³Explicit Dynamic
⁴Solid
⁵C3D8R
⁶Interaction

کامپوزیت‌ها، از آنجایی که ضخامتی برای چسب بین لایه‌ها در نظر گرفته نمی‌شود از رابطه کشش-جداش¹ به جای تنش-کرنش استفاده می‌گردد. رابطه (2) نشان‌دهنده رابطه کشش-جداش است [12].

$$\sigma_i = K_i \delta_i, i = I, II, III \quad (2)$$

در رابطه (2)، K_i سفتی پنالتی نامیده می‌شود و ضریبی است که کشش را به جداش در هر جهت مرتبط می‌کند و واحد آن نیوتون بر مترمکعب است. در روابط مکانیک شکست، سه مود گسترش ترک به صورت بازشدگی، برشی و پارگی وجود دارد. اندیس‌های موجود در رابطه 2 بیانگر هر کدام از این مودها است. برای هر یک از مودهای گسترش ترک، یک استحکام چسب نیز تعریف می‌شود که با رسیدن میزان بارگذاری به این مقادیر، جداش آغاز می‌گردد. همان‌طور که قبل از آغاز جداش، تا قبل از آغاز رفتار الاستیک خطی دارد اما بعد از آن رفتار الاستیک آسیب‌دیده دارد که بر اساس آن مقادیر سفتی پنالتی مورد استفاده در رابطه (2) براساس رابطه (3) تعریف می‌شود [12].

$$K_i = (1 - D_i) \tilde{K}_i \quad (3)$$

همچنین برای تعریف رفتار گسترش جداش چسب در مرحله بعد از آغاز جداش، از روابط مکانیک شکست برای گسترش ترک بعد از ایجاد ترک، یعنی انرژی شکست (انرژی آزاد شده بر واحد سطح یا انرژی گرفیش) برای هر یک از سه مود استفاده می‌گردد [12].

4- انرژی نفوذ برای ورق‌های نازک گلیر و سرعت بالای برخورد پرتابه

انرژی نفوذ برای ورق‌های بسیار نازک گلیر که توسط پرتابه با سرعت‌های بسیار بالا و بدون زاویه برخورد و زاویه حمله مورد برخورد و نفوذ قرار می‌گیرند، به کمک رابطه (4) پیش‌بینی شده است [13].

$$E_p = \frac{\pi a^2 T}{4} \left[1 + \Gamma \sqrt{\frac{\rho_t}{\sigma_e}} V_i \right] \sigma_e \quad (4)$$

$$\sigma_e = \frac{Y}{\sqrt{3}} \left\{ 1 + \ln \left[\frac{1}{\sqrt{3}} \left(\frac{E}{Y} \right) \right] \right\}$$

رابطه (4)، یک رابطه تجربی است که با استفاده از انجام تست‌های تجربی متعدد ضربه بالستیک قائم (توسط گلوله‌هایی با هندسه‌های مختلف) روی هدف مسطح از جنس گلیر³ با چیدمان 2/1 (که بسیار نازک است) بدست آمده و تنها می‌تواند افت انرژی جنبشی گلوله حاصل از نفوذ را برای هدف نازک گلیر و سرعت‌های بسیار زیاد گلوله و زاویه برخورد صفر (برخورد قائم یا غیرمایل) به کمک ویژگی‌های هندسی و مکانیکی کامپوزیت (شامل ضخامت T و چگالی_t ρ_t ، خواص مکانیکی آلیاژ آلومینیوم مورد استفاده (شامل مدول الاستیستیت E و استحکام تسلیم Y) و خواص مکانیکی و هندسی پرتابه (شامل اندازه کالیبر d ، هندسه سر پرتابه Γ و سرعت اولیه برخورد V_i) پیش‌بینی کند. با توجه به رابطه 4 با افزایش سرعت برخورد، چگالی و ضخامت کامپوزیت و کالیبر گلوله، انرژی جذب شده توسط گلیر بر اثر نفوذ گلوله در آن بیشتر می‌شود. علاوه‌بر ضربی مرتبط با هندسه سر پرتابه و مقادیر گزارش شده برای آن، نشان‌دهنده آن است که هرچه نوک گلوله به سمت نوک تیزتر شدن پیش رود، انرژی جذب شده توسط گلیر کمتر می‌گردد [13].

¹Traction-Separation

کمک رابطه 4، مقدار افت انرژی بر اثر نفوذ برای گلیر 3/2 و پرتا به 25 میلی‌متری مسئله، 220.3 ژول محاسبه گردید. به منظور بررسی حساسیت به مش نیز، ابتدا تعداد المان‌های هدف 9500 درنظر گرفته شده و حساسیت به مش پرتا به بررسی گردید. سپس با انتخاب مقدار 29832 المان برای پرتا به، حساسیت به مش هدف مورد بررسی قرار گرفت و مقدار 10000 برای تعداد المان‌های هدف برگزیده شد (هر لایه 2500 المان). شکل‌های 2 و 3 به ترتیب بررسی حساسیت به مش را برای پرتا به و هدف نشان می‌دهند.

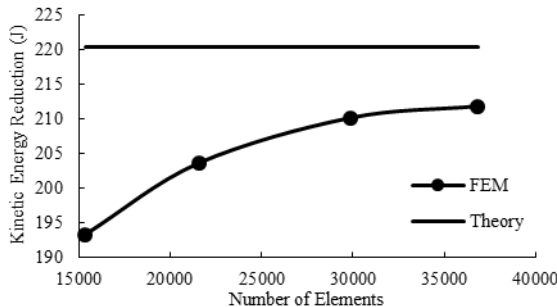


Fig. 2 Mesh Sensitivity of Projectile

شکل 2 حساسیت به مش پرتا به

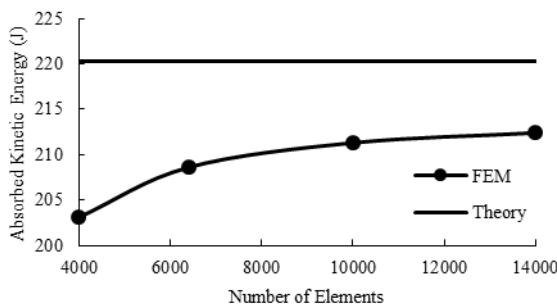


Fig. 3 Mesh Sensitivity of Target

شکل 3 حساسیت به مش هدف

با توجه به شکل‌های 2 و 3، صحت مدل‌سازی بررسی شده است. شکل 4 یک نمونه از مدل نهایی (با زاویه برخورد 45 درجه) را نمایش می‌دهد.

3-4- حالت‌های مختلف شبیه‌سازی شده

پس از صحت‌سنجی مدل، روی هر یک از اهداف گلیر 3/2 و گلیر 5/2، 2/1 شبیه‌سازی المان محدود صورت گرفته است (در مجموع 16 شبیه‌سازی) که در 4 شبیه‌سازی، پرتا به سرعت اولیه 1250 متر بر ثانیه دارد و برخورد در زوایای صفر، 30، 45 و 60 درجه (نسبت به بردار نرم الerner هدف) رخ می‌دهد. در 4 شبیه‌سازی دیگر، به منظور بررسی اثر سرعت، پرتا به سرعت اولیه 625 متر بر ثانیه دارد و مجدد با زوایای برخورد صفر، 30، 45 و 60 درجه به هدف برخورد می‌کند. شبیه‌سازی‌های المان محدود به صورت برخورد مایل و در صفحه افقی عمود بر سطح هدف صورت می‌گیرد. همچنین هر گونه حرکت

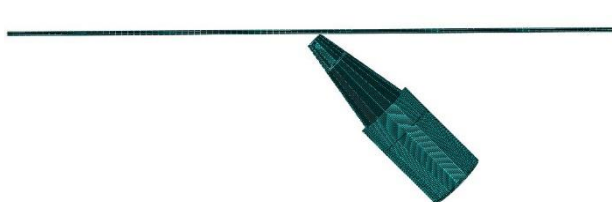


Fig. 4 Final finite element model

شکل 4 مدل نهایی المان محدود

جدول 3 خواص چسبانندگی اپوکسی [12]

خواص چسبانندگی	مقدار	خواص چسبانندگی	مقدار
سفتی پنالتی مود اول	570×10^{22}	سفتی پنالتی مود دوم	570×10^{22}
$K_I(N/m^3)$		$K_{II}(N/m^3)$	
57	570×10^{22}	استحکام مود اول چسب	
		(MPa)	
		57	استحکام مود سوم چسب
			(MPa)
		280	انرژی شکست مود دوم
			(J/m ²)
		280	انرژی شکست مود سوم
			(J/m ²)

جدول 4 خواص مکانیکی تنگستن [10]

خواص مکانیکی	مقدار
چگالی (kg/m ³)	17500
مدول الاستیسیته (GPa)	324
ضریب پواسون	0.28
استحکام تسلیم (MPa)	517
استحکام نهانی (MPa)	758
درصد تغییر طول	2

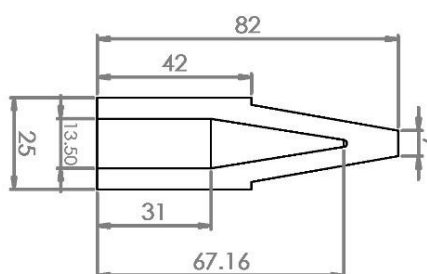
جدول 5 خواص مکانیکی پلی اتیلن [10]

خواص مکانیکی	مقدار
چگالی (kg/m ³)	950
مدول الاستیسیته (GPa)	1.37
ضریب پواسون	0.4
استحکام تسلیم (MPa)	31.7

در شبیه‌سازی المان محدود به منظور اهمیت بررسی تغییر شکل پرتا به، هم هسته و هم روکش آن غیر چلب لحظه شده و از المان سالید سی 3D آر در المان بندی آن استفاده گردیده است. به دلیل محکم بودن پوسته و هسته در کنار هم نیز، امکان هیچ‌گونه لغزش روی هم برای آنها وجود ندارد و بنابراین به صورت یک هندسه واحد تعريف گردیده‌اند. شکل 1 ابعاد پرتا به ام-791 را نمایش می‌دهد [10].

3-3- صحت‌سنجی مدل

به منظور صحت‌سنجی مدل، از رابطه 4 استفاده گردیده و همچنین بررسی حساسیت به مش برای پرتا به و هدف به طور جداگانه صورت گرفته است. به



شکل 1 ابعاد پرتا به (میلی‌متر) [10]

شکل 4 مدل نهایی المان محدود [10]

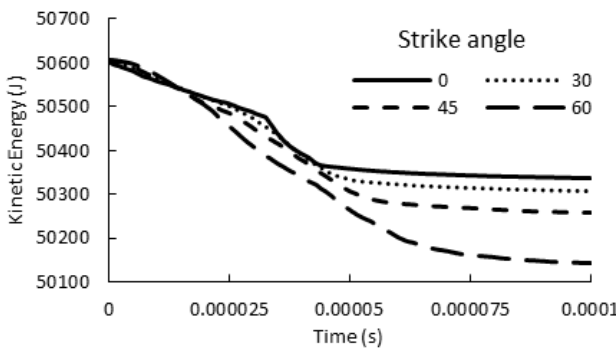


Fig. 8 Kinetic energy history of projectile impacted to GLARE5 2/1 with strike velocity of 1250 m/s

شکل 8 تاریخچه انرژی جنبشی پرتابه برخورد کرده با گلیر 3/2 با سرعت برخورد 625 و 1250 متر بر ثانیه مقایسه شده است.

با توجه به شکل‌های 5 تا 8 همه نتایج دارای ویژگی خاصی هستند؛ نمودار در هر چهار حالت دارای سه قسمت است؛ بخش کم شیب که نشان‌دهنده‌ی برخورد قسمت کم قطر نوک پرتابه است، قسمت با شیب زیاد که نشان‌دهنده‌ی برخورد بخش با قطر بزرگ‌تر پرتابه است و بخش نهایی که مجدد شیب ملایمی دارد تا به حالت پایدار می‌رسد که نشان‌دهنده‌ی نفوذ کامل پرتابه و عبور از صفحه هدف می‌باشد. میزان افت انرژی جنبشی با افزایش زاویه برخورد بیشتر می‌شود؛ چرا که با افزایش زاویه برخورد، سطح وسیع تری از هدف با پرتابه در گیر می‌شود و نفوذ در این سطح وسیع تر نیازمند انرژی بیشتری می‌باشد؛ علاوه بر این، این افزایش افت انرژی را می‌توان به افزایش تأثیرگذاری لایه‌های ساخته شده از الیاف شیشه‌ی کامپوزیت در زوایای برخورد بالاتر نسبت داد.

در جدول 6، میزان کاهش انرژی جنبشی مستخرج از شکل‌های 5 تا 8 برای هر دو کامپوزیت گلیر مورد مقایسه قرار گرفته است. همان‌طور که مشاهده می‌شود، به دلیل استحکام بالاتر گلیر 5، مقدار متناظر افت انرژی آن در مقایسه با گلیر 3، بیشتر است و به ازای افزایش زاویه برخورد، اختلاف افت انرژی در دو کامپوزیت به دلیل افزایش تأثیرگذاری الیاف شیشه، بیشتر می‌شود. همچنین با افزایش سرعت برخورد در بازه‌ی 625 تا 1250 متر بر ثانیه، میزان افت انرژی جنبشی به ازای شرایط همزمان یکسان و سرعت یکسان افزایش می‌یابد. همچنان مشاهده می‌شود که به ازای سرعت یکسان، با افزایش زاویه برخورد، میزان افت انرژی افزایش می‌یابد و با مقایسه دو سرعت 625 تا 1250 متر بر ثانیه، این موضوع قابل توجه است که میزان افزایش افت انرژی به ازای افزایش زاویه برخورد در سرعت 1250 متر بر ثانیه با بیشتر از مقدار متناظر در سرعت 625 متر بر ثانیه است. علت این تفاوت‌ها با مقایسه تکانه پرتابه ($F_{dt}=mdV$) در کنار تعریف کار انجام شده توسط نیروی متوسط پرتابه ($dW=Fdx$) قابل توجیه است. زیرا با افزایش زاویه برخورد هم مدت زمان برخورد و هم مقدار جابه‌جایی نقطه اثر

جدول 6 افت انرژی جنبشی (زول)

Table 6 Kinetic energy reduction (J)

حالات	صفر درجه	30 درجه	45 درجه	60 درجه
گلیر 3/2	130.6	147.9	182	263.5
گلیر 5/5	156.5	185.8	212.4	236.6
گلیر 5/5	268.3	296.6	348.1	370.2

برای هدف در هر سه لبه‌ی بالا، راست و چپ به طور کامل مقید فرض شده است. از آنجایی که زاویه حمله در این مطالعه در نظر گرفته نمی‌شود، لذا سرعت برخورد پرتابه با سطح، همواره در راستای محور پرتابه خواهد بود.

4- نتایج

در شکل‌های 5 تا 8 تاریخچه‌های انرژی جنبشی پرتابه به ازای زوایای برخورد مختلف به ترتیب برای گلیر 3/2 با سرعت 625 و 1250 متر بر ثانیه و گلیر 5/5 با سرعت برخورد 625 و 1250 متر بر ثانیه مقایسه شده است.

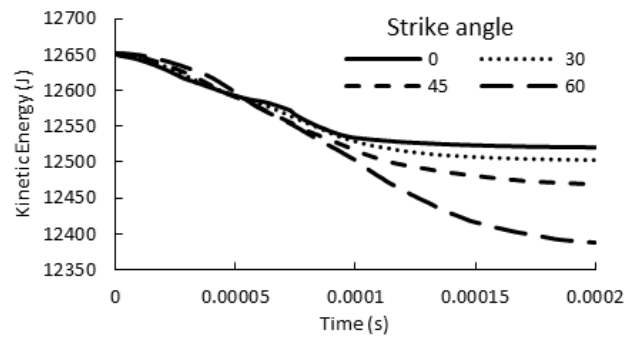


Fig. 5 Kinetic energy history of projectile impacted to GLARE3 2/1 with strike velocity of 625 m/s

شکل 5 تاریخچه انرژی جنبشی پرتابه برخورد کرده با گلیر 3/2 با سرعت 625 متر بر ثانیه

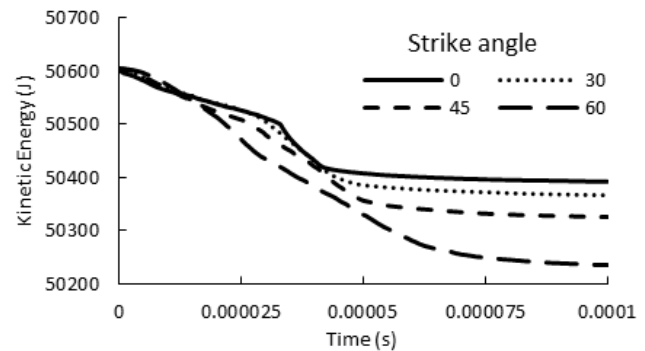


Fig. 6 Kinetic energy history of projectile impacted to GLARE3 2/1 with strike velocity of 1250 m/s

شکل 6 تاریخچه انرژی جنبشی پرتابه برخورد کرده با گلیر 3/2 با سرعت 1250 متر بر ثانیه

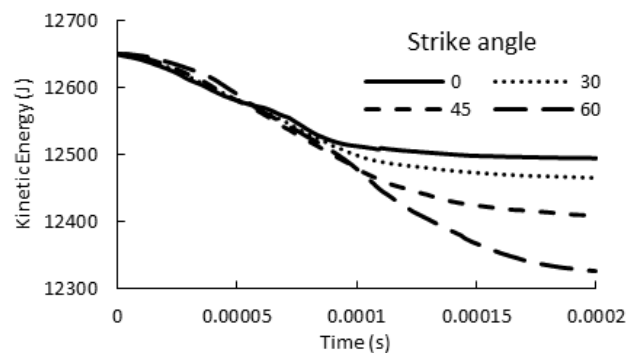


Fig. 7 Kinetic energy history of projectile impacted to GLARE5 2/1 with strike velocity of 625 m/s

شکل 7 تاریخچه انرژی جنبشی پرتابه برخورد کرده با گلیر 5/5 با سرعت 625 متر بر ثانیه

این موضوع را می‌توان به تشکیل ریزترک‌های متعدد به جای یک ترک بزرگ نسبت داد که در اثر افزایش سطح درگیری پرتابه و هدف (پرتابه علاوه بر حرکت در راستای خاصت هدف، روی سطح هدف نیز جابه‌جا می‌شود). و توزع بار روی بخش وسیع‌تری از هدف رخ می‌دهد.

همان‌طور که از جداول 7 و 8 مشاهده می‌گردد، لایه‌های آلومینیوم (ایه اول و چهارم در گلیر 3 و اول و ششم در گلیر 5) به دلیل تقارن خواص مکانیکی، به ازای زاویه برخورد صفر درجه، دارای طول ترک افقی و عمودی برابر هستند، اما با افزایش زاویه برخورد و افزایش سطح درگیری هدف و پرتابه در راستای افقی، طول ترک‌های افقی بیشتر از طول ترک‌های عمدی می‌شود. اما این موضوع در لایه‌های الیاف صدق نمی‌کند؛ لایه‌های الیاف با زاویه الیاف صفر درجه (ایه دوم در گلیر 3 و لایه‌های دوم و پنجم در گلیر 5) به دلیل ضعیف‌بودن جهت عرضی الیاف، به ازای زاویه برخورد صفر درجه، دارای طول ترک عمدی بیشتری نسبت به طول ترک افقی هستند. اما به دلیل افزایش سطح درگیری در راستای افقی به ازای زاویه برخورد بالاتر، طول ترک افقی نیز افزایش یافته و اختلاف بین ترک‌های عمدی و افقی کاهش می‌یابد و به ازای زاویه برخورد 60 درجه که در آن پدیده ریزترک‌ها رخ می‌دهد. حتی ممکن است طول ترک عمدی کمتر از طول ترک افقی شود. اما این موضوع در مورد لایه الیاف با زاویه الیاف 90 درجه (ایه سوم در گلیر 3 و لایه سوم و چهارم در گلیر 5) متفاوت است؛ چرا که جهت عرضی الیاف که جهت ضعیف‌تری است در راستای افقی قرار می‌گیرد و باعث می‌شود که در کنار پدیده افزایش سطح درگیری افقی، ترک‌های افقی همواره از ترک‌های عمدی بزرگتر باشند.

با توجه به جداول 7 و 8 و با مقایسه حالات متناظر سرعت‌های 625 و 1250 متر بر ثانیه، مشاهده می‌گردد که در همه موارد، ترک‌های متناظر به ازای سرعت 625 متر بر ثانیه، از ترک‌های ناشی از سرعت برخورد 1250 متر بر ثانیه بزرگ‌تر هستند. علت این موضوع همان تفاوت میان بار استاتیک و بار ضربه‌ای است؛ زمانی که یک بار به طور استاتیک به یک سیستم وارد می‌شود، تمام بخش‌های آن سیستم زمان کافی را برای احسان آن بار دارند؛ اما وقتی بار به صورت ناگهانی و ضربه‌ای به یک سیستم وارد شود، تنها بخشی از سیستم که در معرض بارگذاری قرار دارد، آن را حس می‌کند و مدت زمانی نیاز است تا موج تنش ایجاد شده بر اثر ضربه توسط کل سیستم حس گردد. حال اگر میزان این تنش از تنش منجر به شکست تجاوز کند، آن بخش از سیستم که در معرض بارگذاری بوده است، دچار شکست شده و با قطع ارتباط بین بخش تحت بارگذاری سیستم و دیگر اجزای سیستم، موج تنش منجر به شکست به قسمت‌های دیگر سیستم نمی‌رسد. به عبارت دیگر هرچه مدت زمان اعمال بار کمتر باشد، بخش کوچکتری از سیستم از بین خواهد رفت. با توجه به این استدلال، بار ناشی از برخورد پرتابه با سرعت 625 متر بر ثانیه در مدت زمان طولانی تر نسبت به سرعت 1250 متر بر ثانیه، بر هدف اعمال می‌شود. بنابراین، ترک‌های ناشی از نفوذ پرتابه با سرعت 625 متر بر ثانیه بزرگ‌تر از ترک‌های متناظر با سرعت 1250 متر بر ثانیه هستند. شکل 9، نمونه‌ای از پتانسیل نامتناظر و شکل 10، نمونه‌ای از ایجاد ریزترک‌ها را نمایش می‌دهند.

در شکل‌های 11 تا 14 لایه‌لایه‌شدنی هدف گلیر 5/2 به ازای سرعت 625 متر بر ثانیه و 1250 متر بر ثانیه و به ترتیب به ازای زاویه برخورد صفر، 45، 30 و 60 با یکدیگر مقایسه گردیده‌اند.

نیروی متوسط افزایش یافته و در نتیجه تغییرات انرژی جنبشی بیشتر می‌گردد. همچنین با افزایش سرعت برخورد، مقدار نیروی میانگین بیشتر شده و در نتیجه مقادیر متناظر افت انرژی جنبشی به ازای سرعت برخورد 1250 متر بر ثانیه بیشتر از 625 متر بر ثانیه می‌شود.

جدول‌های 7 و 8 طول بزرگ‌ترین ترک افقی و عمودی را برای تک تک لایه‌ها به ازای زاویه برخورد صفر، 30، 45 و 60 درجه و سرعت‌های برخورد 625 و 1250 متر بر ثانیه به ترتیب برای گلیر 3 و گلیر 5 نمایش می‌دهند. با توجه به جداول 7 و 8 در راستای افقی و در همه حالات، با افزایش زاویه برخورد، طول بزرگ‌ترین ترک نیز افزایش می‌یابد. علت این موضوع، افزایش سطح درگیری پرتابه و هدف می‌باشد. اما در راستای عمدی، این موضوع تنها تا زاویه 45 درجه می‌باشد و البته روند افزایش طول ترک عمدی حتی در این بازه نیز دائمی نیست و متأثر از عوامل دیگر مثل جهت الیاف (در لایه‌های الیافی) و پدیده پتانسیل نامتناظر (در لایه آلومینیوم پشت هدف) می‌باشد. طوریکه طول ترک عمدی با افزایش زاویه برخورد می‌تواند ثابت بماند یا حتی کاهش داشته باشد. علت به وجود آمدن پدیده پتانسیل نامتناظر در برخورد مایل، فشاری است که پرتابه روی ناحیه مقابله خود روی هدف در زمان نفوذ اعمال می‌کند و باعث برآمدگی بخشی از هدف - که روبروی پرتابه قرار دارد - به سمت جلو می‌شود. بخشی از حرکت مخالف حرکت پرتابه - که بخش پشت پرتابه است - قرار دارد، همراه با حرکت پرتابه کشیده شده و اثر فشاری پرتابه در این ناحیه، با افزایش زاویه برخورد، کاهش می‌یابد. در زاویه 60 درجه، در تمامی حالات، کاهش طول ترک عمدی به ازای افزایش زاویه برخورد از 45 به 60 درجه قابل مشاهده است.

جدول 7 طول ناحیه آسیب‌دیده گلیر 3 (سانتی‌متر)

Table 7 Length of damaged area in GLARE3 (cm)

لایه/سرعت	0 افق	0 عمود	30 افق	30 عمود	45 افق	45 عمود	60 افق	60 عمود
اول	625/							
دوم	625/							
سوم	625/							
چهارم	625/							
اول/	1250/							
دوم	1250/							
سوم	1250/							
چهارم	1250/							

جدول 8 طول ناحیه آسیب‌دیده گلیر 5 (سانتی‌متر)

Table 8 Length of damaged area in GLARE5 (cm)

لایه/سرعت	0 افق	0 عمود	30 افق	30 عمود	45 افق	45 عمود	60 افق	60 عمود
اول	625/							
دوم	625/							
سوم	625/							
چهارم	625/							
پنجم	625/							
ششم	625/							
اول/	1250/							
دوم	1250/							
سوم	1250/							
چهارم	1250/							
پنجم	1250/							
ششم	1250/							

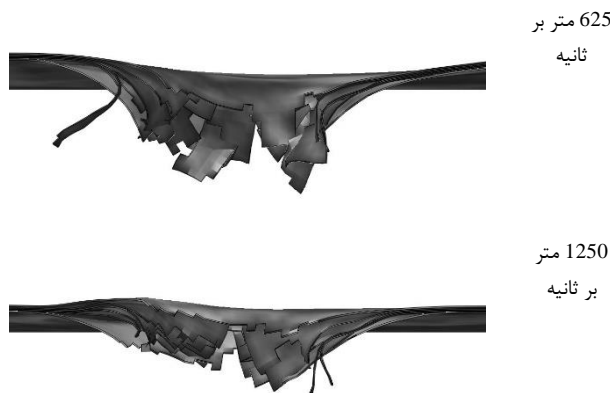


Fig. 13 Delamination of GLARE5- strike angle of 45 degree

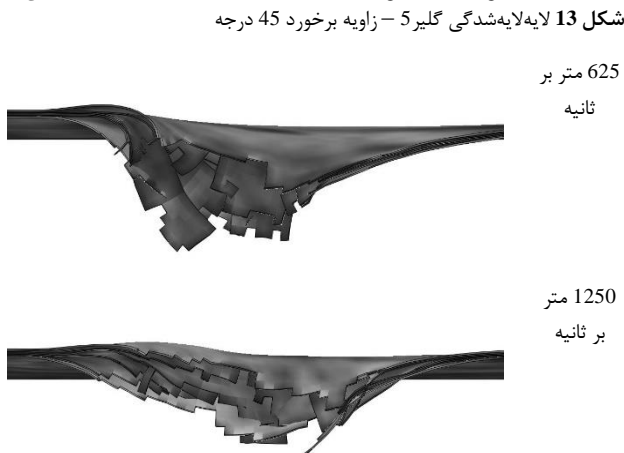


Fig. 14 Delamination of GLARE5- strike angle of 60 degree

شکل 13 لایه‌لایه‌شدگی گلیر 5 - زاویه برخورد 45 درجه
شکل 14 لایه‌لایه‌شدگی گلیر 5 - زاویه برخورد 60 درجه

از آنجایی که نتایج لایه‌لایه‌شدگی در گلیر 3 مشابه گلیر 5 می‌باشد، تنها به بررسی لایه‌لایه‌شدگی گلیر 5 پرداخته شده و لازم به ذکر است که نتایج در مورد گلیر 3 نیز قابل استناد است. با توجه به شکل‌های 11 تا 14 به ازای سرعت برخورد 1250 متر بر ثانیه و زاویه برخورد صفر درجه، کامپوزیت دچار برآمدگی محسوس متقارن در اطراف سوراخ نفوذ می‌شود. این برآمدگی با آنکه در اثر سرعت برخورد 625 متر بر ثانیه نیز به وجود می‌آید، اما در مقایسه با برآمدگی ناشی از سرعت برخورد 1250 متر بر ثانیه بسیار ناچیز و قابل چشم پوشی است. برآمدگی ناشی از سرعت برخورد 1250 متر بر ثانیه باعث افزایش فاصله جدایش لایه‌ها و کاهش عمق پتالینگ می‌شود. با افزایش زاویه برخورد، این برآمدگی نامتقارن شده و در ناحیه روبروی گلوله، مرتفع‌تر می‌شود و در سمت مخالف گلوله ارتفاع آن کمتر می‌شود که این امر موجب افزایش فاصله جدایش بین لایه‌ها در سمت مقابل گلوله و کاهش فاصله جدایش لایه‌ها در سمت مخالف گلوله می‌گردد. علاوه بر این، موضوع برآمدگی باعث اختلاف عمق پتالینگ بین حالت 625 متر بر ثانیه و 1250 متر بر ثانیه می‌شود.

در بررسی لایه‌لایه‌شدگی، رفتار موج تنش حاصل از برخورد گلوله به هدف و همچنین بار اعمالی، اهمیت ویژه‌ای دارد. زاویه برخورد صفر درجه منجر به پتالینگ متقارن (طبق شکل 11) می‌شود. علاوه بر این همان‌طور که از شکل 11 مشاهده می‌شود، لایه‌لایه‌شدگی بین لایه پنجم و ششم، ناحیه وسیع‌تری را نسبت به لایه‌لایه‌شدگی بین لایه‌های دیگر شامل می‌شود. علت

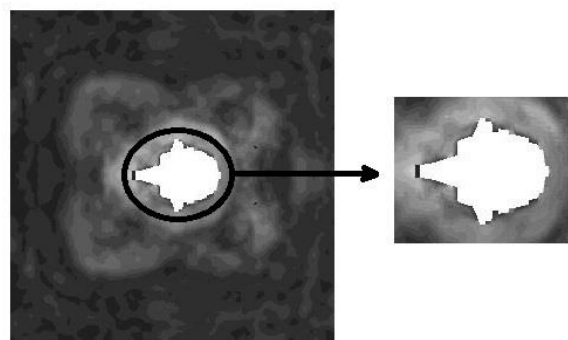


Fig. 9 Asymmetric petaling

شکل 9 نمونه‌ای از پتالینگ نامتقارن

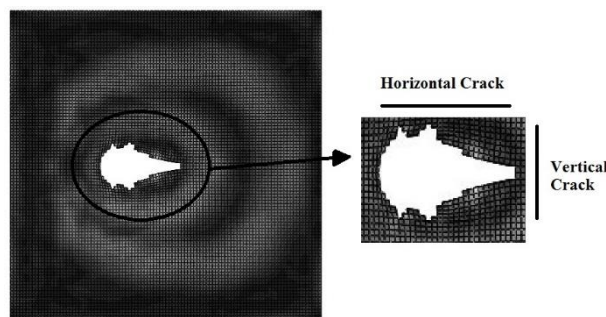


Fig. 10 Formation of vertical small-cracks

شکل 10 نمونه‌ای از تشکیل ریزترک‌های عمودی

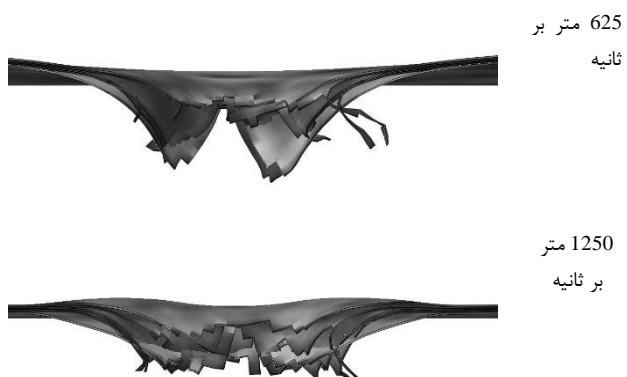


Fig. 11 Delamination of GLARE5- strike angle of zero degree

شکل 11 لایه‌لایه‌شدگی گلیر 5 - زاویه برخورد صفر درجه

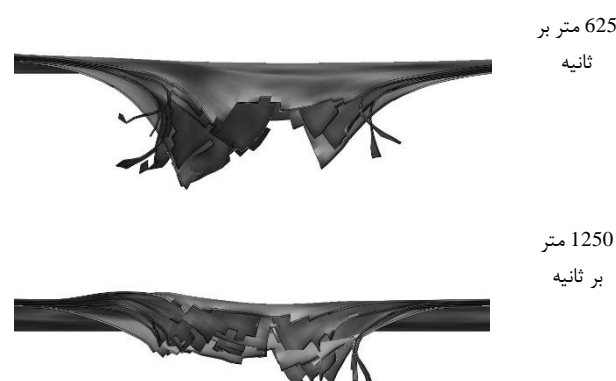


Fig. 12 Delamination of GLARE5- strike angle of 30 degree

شکل 12 لایه‌لایه‌شدگی گلیر 5 - زاویه برخورد 30 درجه

1250 متر بر ثانیه بین 1 تا 60 درصد (در حالات مختلف) بیشتر می‌شود. از آنجا که به طور مستقیم نمی‌توان با نفوذ این نوع پرتابه‌ها مقابله کرد، می‌توان با بررسی ابعاد آسیب‌دیدگی اندازه‌گیری شده در این مطالعه و با استفاده از روابط مکانیک شکست و اعمال برخی اصلاحات در هدف، سطح آسیب-دیدگی‌ها خصوصاً در راستای افقی- را کاهش داد. همچنین می‌توان با مطالعه روی هندسه هدف راهی برای کمانه‌کردن پرتابه بعد از برخورد و یا کاهش آسیب‌دیدگی افقی یافت.

6- فهرست عالیم

d	کالیبر پرتابه (m)
D	میزان آسیب‌دیدگی
E_p	انرژی نفوذ (J)
K	سفتی پنالتی (Nm^3)
\tilde{K}	سفتی پنالتی اولیه (Nm^{-3})
T	ضخامت هدف (m)
V_i	سرعت برخورد
X	استحکام طولی (MPa)
Y	استحکام عرضی (MPa)
τ	تنش برشی (MPa)
σ	تنش (Mpa)
δ	جدایش (m)
Γ	ضریب شکل نوک پرتابه
ρ_t	چگالی هدف (kgm^{-3})
ها	زیرنویس‌ها
1,2,3	راستای الیاف
t	کششی
c	فشاری
I, II, III	مودهای مکانیک شکست

7- مراجع

- [1] T. Sinmazcelik, E. Avcu, M. Ö. Bora, O. Çoban, A review: Fiber metal laminates, background, bonding types and applied test methods, *Materials and Design*, Vol. 32, No. 7, pp. 3671–3685, 2011.
- [2] E. C. Botelhoa, R. A. Silvac, L. C. Pardinia, M. C. Rezendea, A Review on the Development and Properties of Continuous Fiber/epoxy/aluminum Hybrid Composites for Aircraft Structures, *Materials Research*, Vol. 9, No. 3, pp. 247–256, 2006.
- [3] F. D. Morinière, R. C. Alderliesten, R. Benedictus, Modelling of impact damage and dynamics in fiber-metal laminates – review, *International Journal of Impact Engineering*, Vol. 67, No. 1, pp. 27-38, 2014.
- [4] H. Sabouri, H. Ahmadi, G.H. Liaghat, Ballistic Impact Perforation into GLARE Targets: Experiment, Numerical Modelling and Investigation of Aluminum Stacking Sequence, *International Journal of Vehicle Structures & Systems*, Vol. 3, No. 3, pp. 178-18, 2011.
- [5] M. Sadighi, R.C. Alderliesten, R. Benedictus, Impact resistance of fiber-metal laminates: A review, *International Journal of Impact Engineering*, Vol. 40, No. 1, pp. 77-90, 2012.
- [6] H. Ahmadi, G.H. Liaghat, H. Sabouri, E. Bidkhouri, Investigation on the high velocity impact properties of glass-reinforced fiber metal laminates, *Journal of Composite Material*, Vol. 47, No. 13, pp. 1605-1615, 2012.
- [7] F.D. Morinière, R.C. Alderliesten, M. Sadighi, R. Benedictus, An integrated study on the low-velocity impact response of the GLARE fiber-metal laminate, *Composite Structures*, Vol. 100, No. 1, pp. 89-103, 2013.

این امر رفتار انتهای آزاد موج تنش است که باعث افزایش دو برابری سرعت موج در لایه ششم و جدایش آن از لایه پنجم که سرعت موج در آن کمتر است، می‌شود. علاوه بر این از آنجایی که سرعت موج در آلومینیوم و الیاف شیشه تقريباً يکسان است، سطح جدا شده بين لایه‌ی آلومینیوم-الیاف تقريباً با سطح جدا شده بين الیاف-الیاف يکسان است. با این حال به دليل بيشتر بودن اندازه سرعت موج تنش در آلومینیوم نسبت به الیاف شیشه، سطح جدا شده آلومینیوم-الیاف کمی بيشتر از سطح جدا شده الیاف-الیاف است.

با مقایسه شکل 11 با شکل‌های 12 تا 14، به خوبی نقش بار اعمالی در پدیده لایه‌لایه‌شدنی قابل مشاهده است. به این دليل که در حالات برخورد مایل به دليل افزایش فشار روی لایه‌های بالایی که منجر به برآمدگی لایه اول شده است، سطح جدا شده بين لایه‌ها در تمام سطوح بين لایه‌ها، به يكديگر بسيار نزديک شده است. البته لایه‌لایه‌شدنی به خاطر مایل بودن برخورد، به صورت نامتقارن است. پتانلينگ نيز به طور نامتقارن صورت می‌گيرد و عمق پتانلينگ در سمت مخالف گلوله بيشتر از عمق پتانلينگ روپروي گلوله است. به ازاي زاويه 60 درجه نيز ادامه روند کم شدن اختلاف اندازه سطوح جدا شده‌ی بين لایه‌های مختلف در ناحیه مقابل گلوله قابل مشاهده است. در مقابل به دليل غلبه‌ی چشم‌گير رفتار موج تنش در ناحیه پشت گلوله، اندازه سطح جداش لایه‌ی پنجم و ششم بيشتر از باقی سطوح است و علاوه بر اين به دليل کم شدن میزان بار اعمالی و وسیع‌تر شدن ناحیه اعمال آن، سطوح جدا شده در پشت گلوله نسبت به سطوح جدا شده در جلوی گلوله، دارای وسعت بيشتری هستند. عمق پتانلينگ نيز در پشت گلوله بيشتر از عمق پتانلينگ در جلوی گلوله است و همچنین عمق پتانلينگ پشت گلوله نسبت به حالت 45 درجه کمتر شده است که به دليل کاهش بيش از حد تکانه‌ی گلوله در جهت ضخامت هدف می‌باشد. اين کاهش عمق، باعث کاهش طول پارگی-های ناشی از پتانلينگ می‌شود.

5- جمع‌بندی و نتیجه‌گیری

در اين مطالعه به كمک شبیه‌سازی المان محدود پدیده نفوذ مایل پرتابه ضدزره کالیبر 25 میلی‌متر در نرم‌افزار آباکوس به بررسی ابعاد ناحیه آسیب-دیده هدف گلیر 3/2 و گلیر 2/1 بر اثر نفوذ پرداخته شد. سرعت‌های برخورد 625 و 1250 متر بر ثانیه و زوایای برخورد صفر، 30، 45 و 60 درجه مورد بررسی قرار گرفت. روش حل به کمک رابطه تجربی صحبت‌سنجی شده و اختلاف مقادیر افت انرژی جنبشی گلوله بين شبیه‌سازی و رابطه درصد محاسبه گردید. همچنین مشاهده گردید که افت انرژی جنبشی گلوله به ازاي مقادير متناظر زاويه برخورد و جنس يکسان، برای سرعت برخورد 1250 متر بر ثانیه بين 40.5 تا 71.44 درصد (در حالات مختلف) بيشتر از سرعت برخورد 625 متر بر ثانیه است. علاوه با افزایش زاويه برخورد به ازاي جنس يکسان و سرعت يکسان، افت انرژی جنبشی گلوله بين 108 تا 10.54 درصد (در حالات مختلف) افزایش می‌يابد. همچنین گلیر 5 از گلیر 3 توانايی بيشتری در جذب انرژی جنبشی گلوله به ازاي شرایط يکسان دارد (بين 19.83 تا 26.31 درصد در حالات مختلف، جذب انرژی بيشتر دارد). با افزایش زاويه برخورد همواره طول آسیب‌دیدگی افقی به ازاي شرایط مشابه جنس هدف يکسان و سرعت برخورد يکسان بين 10 تا 80 درصد (در حالات مختلف) بيشتر می‌شود، اما با وجود آمدن ریزترک‌ها در راستای عمودی در زاويه برخورد 60 درجه، طول آسیب‌دیدگی عمودی بعد از زاويه 45 درجه يا کاهش می‌يابد و يا ثابت می‌ماند. همچنین مشاهده گردید که به ازاي سرعت 625 متر بر ثانیه، ابعاد آسیب‌دیدگی نسبت به حالات متناظر برای سرعت

- 1994.
- [11] Y. Huang, J. Liu, X. Huang, J. Zhang, G. Yue, Delamination and fatigue crack growth behavior in Fiber Metal Laminates (Glare) under single overloads, *International Journal of Fatigue*, Vol. 78, No. 1, pp. 53–60, 2015.
 - [12] E. J. Barbero, *Finite Element Analysis of Composite Materials Using Abaqus*, pp. 512-581, Boca Raton, CRC Press, 2013.
 - [13] S. R. Reid, H. M Wen, *Impact Behavior of Fiber-Reinforced Composite Materials and Structures*, pp. 237-256, Cambridge, Wood-Head Publishing, 2000.
 - [8] M. Ghalami, M. Sadighi, Investigation of high velocity impact of cylindrical projectile on sandwich panels with fiber–metal laminates skins and polyurethane core, *Aerospace Science and Technology*, Vol. 32, No. 1, pp. 142-152, 2014.
 - [9] A. Masoudi, G.H. Liaghat, M.H. Pol, Effects of nanoclay on the ballistic behavior of GLARE - Experimental and numerical investigation, *Modares Mechanical Engineering*, Vol. 14, No. 7, pp. 41-53, 2014 (In Persian).
 - [10] Headquarters Department of the Army, *Army Ammunition Data Sheets*, Technical Manual TM 43-0001-27, Washington D.C., April,